

## Chlazení a výroba piva II.

663.452.2  
663.452.4  
663.41

### Rozdělení spotřeby chladu, chlazení kapalin, bod mrznutí piva, teplota maximální hustoty piva

Ing. ANTONÍN KRATOCHVÍLE, Jihočeské pivovary, k. p., České Budějovice

**Klíčová slova:** pivo, mladé pivo, mladina, kvasné kádě, ležácké tanky, chlazení, dochlazování, bod mrznutí, hustota piva

V části I, uveřejněné v Kvasném průmyslu č. 10, byly objasněny základní principy průmyslového chladicího zařízení, které se využívá v převážné většině pivovarských provozů. V návaznosti na tuto úvodní část I následují kapitoly o spotřebě chladu a chlazení kapalin v pivovarech.

#### 3. ROZDĚLENÍ SPOTŘEBY CHLADU

V průběhu výroby piva se spotřeba chladu realizuje na různých místech výrobního procesu a vlastní spotřeba chladu je závislá jednak na vnější teplotě (převážně chlazení prostorů) a jednak na objemu výroby (chlazení mladiny, piva apod.). Vycházíme-li ze současného nejběžnějšího uspořádání chlazení v pivovarech, tj. nepřímé kompresorové chlazení se dvěma sekundárními okruhy — solankovým okruhem a okruhem ledové vody — lze schematicky sestavit přehled míst spotřeby chladu, charakter spotřeby a závislosti spotřeby chladu, který je uveden v tabulce 1.

Tabulka 1. Přehled míst spotřeby a charakter spotřeby chladu při výrobě piva (prac. teplo = vyrovnaný pracovní teplo)

místo spotřeby prov. soubor	charakter spotřeby- chlazení	Teplonosná látka		
		solanka		ledová voda
		závislost spotřeby na		
		výrobě	vnější tepl.	výrobě
chlazení mladiny spilka	kapalin kvas. kádě prostoru prac. teplo	—	—	×
ležácký sklep	prostoru prac. teplo	—	—	—
filtrace stáčení sudů stáčecí tanky sklad lahového piva sklad sudového piva chmelárna dochlazování piva průtoková pasterace výroba ledu	prostoru prostoru prostoru prostoru prostoru prostoru kapalin kapalin	—	—	—
		—	—	—

K uvedenému schématu je nutno zdůraznit, že v řadě případů nelze hranice rozdělení stanovit zcela přesně a že dochází ke vzájemnému ovlivňování jak spotřeby, tak i závislostí.

#### 4. CHLAZENÍ KAPALIN PŘI VÝROBĚ PIVA

Nejjednodušším případem z hlediska charakteru spotřeby chladu je chlazení kapaliny. Kapaliny, které v pivovarském provozu přicházejí v úvahu, je možno charakterizovat hodnotami uvedenými v tabulce 2.

Spotřeba chladu při chlazení kapaliny o objemu V je dána obecným vztahem

$$Q = V \cdot c \cdot \sigma_v \cdot (t_1 - t_2) \quad [kJ] \quad (1)$$

kde: Q — spotřeba chladu kJ

V — objem kapaliny hl

c — měrné teplo kapaliny kJ . kg<sup>-1</sup> . K<sup>-1</sup>

$\sigma_v$  — objemová hmotnost kg . hl<sup>-1</sup>

$t_1$  — výchozí teplota °C

$t_2$  — výsledná teplota °C

Tabulka 2. Fyzikální hodnoty pivovarských kapalin (podle Dvořáka-Červenky)

Kapalina fáze výroby	Teplota $t$ °C	Měrné teplo $c$ kJ . kg <sup>-1</sup> K <sup>-1</sup>	Objemová hmotnost kg . hl <sup>-1</sup>	Tepelná vodivost kJ.m <sup>-1</sup> h <sup>-1</sup> K <sup>-1</sup>
mladina	60	3,48—3,56	105	2,01—2,14
	30	3,68—3,77	105	1,97
	4	3,77—3,85	103	1,76—1,80
zelené pivo	7—8	3,73—3,77	104	1,80—1,93
	7—6	3,73—3,94	102	1,72—1,93
pivo z tanku	1—2	3,81	102	1,67—1,93
	6	3,77—3,89	102	1,80—1,88
filtr. pivo	9	3,81—3,89	102	1,80—1,93

Při praktických provozních výpočtech se nedopustíme závažné nepřesnosti, pokud 1 hl pivovarských kapalin považujeme za rovných 100 kg a měrné teplo rovné  $c$  vody = 4,1868 kJ . kg<sup>-1</sup>. Potom se vztah zjednoduší takto

$$Q = V \cdot c \cdot (t_1 - t_2) \quad [kJ] \quad (2)$$

#### 4.1 Chlazení mladiny

Celá výroba piva se často rozděluje na oblast teplou (príprava mladiny) a oblast studenou (hlavní kvašení, dokvašování a filtrace). Místem přechodu mezi teplou a studenou oblastí je právě chlazení mladiny.

Vycházíme-li z předpokladu, že průměrná teplota čerpané (vyrážené) mladiny je cca 95 °C a zákvasná teplota je 5 °C, pak v průběhu chlazení mladiny musíme každému hl mladiny odejmout teplo, tj. mladinu ochladit, 37,681 MJ.

Dříve používaný otevřený způsob chlazení mladiny — chladicí stoky + sprchový chladič — se od současného uzavřeného způsobu chlazení mladiny — vířivá kád + deskový chladič mladiny — z energetického hlediska výrazně liší.

##### 4.1.1 Otevřený způsob chlazení mladiny

Při otevřeném způsobu chlazení mladiny a použití chladicích stoků je průběh prvního stupně chlazení ovlivněn vnější teplotou. Z mikrobiologických důvodů se mladina ponechává na stoku, kde chladne vlivem odparu a vyzařováním tepla do okolí, do teploty asi 60 °C, v zimním období i do nižších teplot. Druhý a třetí stupeň probíhá zpravidla na otevřeném sprchovém chladiči — předchlazení studenou vodou a dochlazení ledovou vodou. Množství studené vody bývá 2 až 2,5násobek objemu chlazené mladiny, její oteplení je poměrně malé v důsledku nízkého přestupu tepla vyplývajícího z principu sprchového chladiče.

Vycházíme-li z toho, že teplota mladiny přicházející na sprchový chladič je 65 až 40 °C, pak v prvním stupni na stokách je odvedeno asi 12,56 až 20,93 MJ . hl<sup>-1</sup>, tj. 33 až 55 % tepla mladiny. V některých případech je tento podíl ještě větší (např. malé pivovary v zimním období).

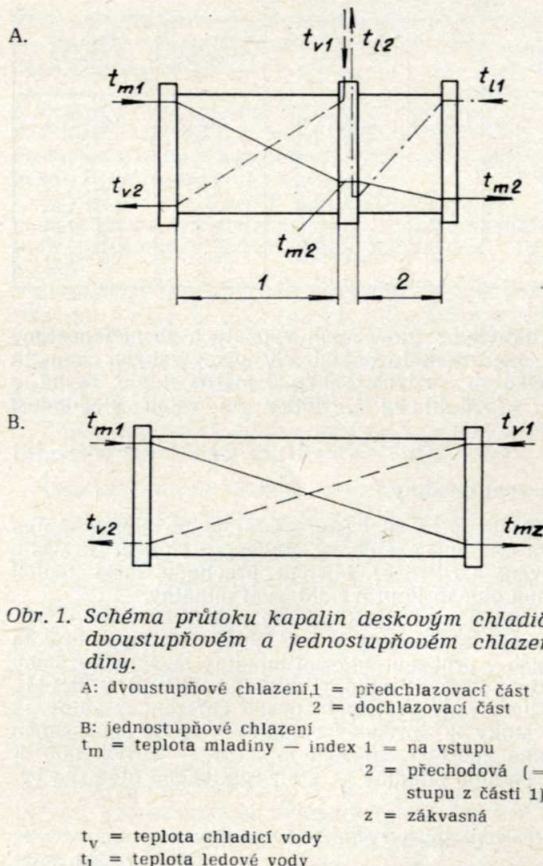
Nároky na předchlazení studenou vodou a dochlazení ledovou vodou jsou proto u otevřeného způsobu chlazení mladiny relativně malé. Na 1 m délky sprchového chladiče, 2 až 2,4 m vysokého, se počítá průměrný výkon chlazení 12 až 15 MJ . h<sup>-1</sup>. Průtočná rychlosť studené a ledové vody v trubkách sprchového chladiče má být v rozmezí 0,8—1,5 m . s<sup>-1</sup>.

##### 4.1.2 Uzavřený způsob chlazení mladiny

Požadavky na vyšší výkony chlazení mladiny a na vyloučení nebezpečí mikrobiální kontaminace mladiny na stokách vedly k přechodu na uzavřený způsob, při použití vířivých kádů a deskových chladičů mladiny.

Ochlazení mladiny ve vřívě kádi je malé, technologické zásady doporučují, aby doba čerpání a chlazení mladiny byla celkem asi 2 hodiny, v průměru se počítá, že mladina vstupuje do deskového chladiče s teplotou asi 93 °C. Na rozdíl od otevřeného způsobu pak musíme z 1 hl mladiny odejmout asi 36,8 MJ, tj. cca 97,5 % teplota mladiny.

Chlazení mladiny na deskovém chladiči se provádí buď dvoustupňově, předchlazení studenou vodou a dochlazení ledovou vodou, což je běžný způsob, nebo jednostupňově, kde odpadá dochlazování ledovou vodou (obr. 1).



Obr. 1. Schéma průtoku kapalin deskovým chladičem při dvoustupňovém a jednostupňovém chlazení mladiny.

A: dvoustupňové chlazení, 1 = předchlazovací část  
2 = dochlazovací část

B: jednostupňové chlazení  
\$t\_m\$ = teplota mladiny — index 1 = na vstupu  
2 = přechodová (= na výstupu z části 1)  
z = zákvasná

\$t\_v\$ = teplota chladicí vody  
\$t\_l\$ = teplota ledové vody

Z energetického hlediska je při chlazení mladiny důležitá teplota teplé vody (oteplené studené chladicí vody) získané v prvním stupni a potřeba chladu na dochlazení ledovou vodou ve druhém stupni chlazení.

#### Dvoustupňový způsob chlazení mladiny

Po průběhu chlazení jsou rozhodující zejména tyto parametry: poměr objemu studené vody k objemu chlazené mladiny a teplota mladiny na přechodu z předchlazovacího stupně do druhého dochlazovacího stupně.

#### Předchlazování studenou vodou — 1. stupeň chlazení

Poměr studené vody na chlazení a chlazené mladiny by měl být v korelace s potřebou horké vody ve varně, která podle různých technologických způsobů činí 1,05 až 1,20 hl na 1 hl horké mladiny. Vzhledem k zásadě vyslavovat vodu teplou 75–78 °C by teplota získané oteplené vody měla být pokud možno nejvyšší. V předchlazovací části (stejně jako v dochlazovací části) deskového chladiče je mladina chlazena na principu protiproudou a výměna tepla závisí zásadně na poměru objemu chladicí vody \$V\_v\$ a objemu chlazené mladiny \$V\_m\$. Průběh teplot v deskovém chladiči v závislosti na poměru vody a mladiny je uveden na obr. 2.

Ztráty tepla při chlazení mladiny na deskovém chladiči jsou malé, lze je zanedbat a pak platí rovnice:

teplota předaná mladinou = teplota přijaté vodou

$$V_m \cdot c_m \cdot (t_{m1} - t_{m2}) = V_v \cdot c_v \cdot (t_{v2} - t_{v1}) \quad (3)$$

Bez velké chyby, pro provozní podmínky s vyhovující přesností, můžeme počítat měrné teplo mladiny \$c\_m\$ shodné s měrným teplem vody \$c\_v\$ a objem chladicí vody můžeme vyjádřit jako součin \$x \cdot V\_m\$, čímž rovnice (3) dostane zjednodušený tvar

$$(t_{m1} - t_{m2}) = x \cdot (t_{v2} - t_{v1}) \quad (4)$$

ze kterého pro poměr objemu vody k objemu mladiny platí

$$\frac{V_v}{V_m} = x = \frac{t_{m1} - t_{m2}}{t_{v2} - t_{v1}} \quad (5)$$

Pro celkový tepelný tok (= výměnu tepla) v deskovém chladiči pak platí vztah

$$q = F \cdot k \cdot \Delta t_{1s} \quad [\text{kJ} \cdot \text{h}^{-1}] \quad (6)$$

kde: \$q\$ — celková výměna tepla \$\text{kJ} \cdot \text{h}^{-1}\$  
\$F\$ — teplosměnná plocha chladiče \$\text{m}^2\$  
\$k\$ — koeficient prostupu tepla \$\text{kJ} \cdot \text{m}^{-2} \cdot \text{K}^{-1} \cdot \text{h}^{-1}\$  
\$\Delta t\_{1s}\$ — logaritmický střed okrajových teplotních rozdílů °C [K]

Pro logaritmický střed okrajových teplotních rozdílů \$\Delta t\_{1s}\$ byl odvozen matematický vztah

$$\Delta t_{1s} = \frac{\frac{\delta II - \delta I}{\ln \frac{\delta II}{\delta I}} = \frac{(t_{m2} - t_{v1}) - (t_{m1} - t_{v2})}{\ln \frac{(t_{m2} - t_{v1})}{(t_{m1} - t_{v2})}}}{(7)}$$

(\$\ln\$ = přirozený logaritmus)

Pro deskové chladiče typu CHPM, vyráběné n. p. Choťoborské strojírny, byla podle sdělení výrobce naměřena hodnota koeficientu prostupu tepla \$k\$:

— u zcela čistého chladiče po 6 h provozu:

$$k = 8792 \text{ kJ} \cdot \text{m}^{-2} \cdot \text{K}^{-1} \cdot \text{h}^{-1}$$

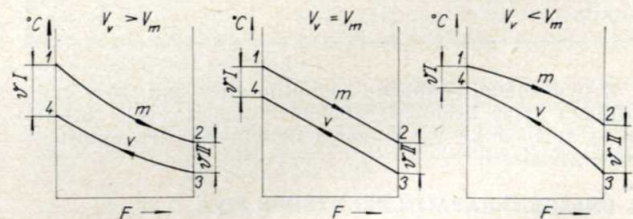
— u chladiče po 10 týdnech provozu, při obvyklém čištění:

$$k = 8248 \text{ kJ} \cdot \text{m}^{-2} \cdot \text{K}^{-1} \cdot \text{h}^{-1}$$

V praktickém provozu zpravidla známe hodnoty průtoku mladiny \$V\_m\$ a vody \$V\_v\$, vstupní teplotu mladiny \$t\_{m1}\$ a vstupní teplotu vody \$t\_{v1}\$, konkrétní chladič mladiny má určitou teplosměnnou plochu \$F\$ a určitou průměrnou hodnotu koeficientu prostupu tepla \$k\$. Pokud chceme určit výstupní teplotu mladiny \$t\_{m2}\$ (přechodovou teplotu) nebo výstupní teplotu vody \$t\_{v2}\$ na konci 1. stupně chlazení, nelze pro přesné výpočty použít celkové bilanční rovnice, kterou odvodíme ze vztahů (3) a (6):

$$q = F \cdot k \cdot \Delta t_{1s} = V_m \cdot (t_{m1} - t_{m2}) = V_v \cdot (t_{v2} - t_{v1}) \quad (8)$$

neboť neznáme hodnotu celkového tepelného toku \$q\$ a tuto nelze bez znalosti všech okrajových podmínek vypočítat.



Obr. 2. Průběh teplotních křivek podél teplosměnné plochy protiproudého chladiče v závislosti na poměru objemu chladicí vody \$V\_v\$ a objemu chlazené mladiny \$V\_m\$. \$V\_v : V\_m = X\$.

\$t\_m\$ = teplota mladiny

\$t\_v\$ = teplota vody

index 1 = teploty na vstupu

2 = teploty na výstupu

v = okrajový teplotní rozdíl

Pro výpočet by bylo nutno použít rovnic teplotních křivek, které jsou poměrně složité a řešit se zpravidla pomocí nomogramů.

Pouze pro ilustraci lze uvést výsledné vztahy pro:  
— snížení teploty mladiny  $t_m$ :

$$t_m = t_{m1} - t_{m2} = [t_{m1} - t_{v1}] \cdot Z \quad (9)$$

— zvýšení teploty chladicí vody  $t_v$ :

$$t_v = t_{v2} - t_{v1} = [t_{m1} - t_{v1}] \cdot Z \cdot W \quad (10)$$

ve kterých kromě výše uvedených  $t_{m1}$ ,  $t_{m2}$ ,  $t_{v1}$ ,  $t_{v2}$  znamená

$$W = \frac{V_m}{V_v} = \frac{1}{x} \quad (11)$$

$$Z = \frac{1 - e^{-(1-W)}}{V_m} \frac{k \cdot F}{V_m} \quad (12)$$

( $e = 2,71826$  = základ přirozených logaritmů).

Pro orientaci můžeme vyjít ze základní bilanční rovnice (8), ze které vyplývá

$$x = \frac{t_{m1} - t_{m2}}{t_{v2} - t_{v1}} \quad (13)$$

a pro teplotu vystupující vody  $t_{v2}$  z ní odvodit approximativní vztah

$$t_{v2} = \frac{t_{m1} - t_{m2}}{x} + t_{v1} \quad (14)$$

který při použití substituce  $t_{m2} = \vartheta II + t_{v1}$  lze také napsat ve tvaru

$$t_{v2} = \frac{t_{m1} - (\vartheta II + t_{v1})}{x} + t_{v1} \quad (15)$$

Z bilanční rovnice však také se stejným zjednodušením platí

$$q = V_v (t_{v2} - t_{v1}) \quad (16)$$

Posouzením posledních 3 rovnic můžeme pro určitou teplosměnnou plochu  $F$  odvodit obecné závislosti:

a) teplota vystupující vody  $t_{v2}$  je tím vyšší, čím vyšší je teplota vystupující mladiny  $t_{m1}$ . Proto dlouhé odpočinky mladiny ve vířivé kádi nejsou jen technologicky nevhodné, ale znamenají i ztrátu možného energetického zisku;

b) teplota vystupující vody  $t_{v2}$  se snižuje při vysoké hodnotě  $x$ , tj. při větším objemu chladicí vody  $V_v$  proti objemu chlazené mladiny  $V_m$ . Snižováním hodnoty  $x$ , zmenšováním objemu vody  $V_v$  se však také snižuje celková tepelná výměna  $q$ , což ve svém důsledku vede buď ke zvýšení přechodové teploty mladiny  $t_{m2}$ , nebo ke snížení celkového průtoku mladiny chladičem = snížení výkonu — a tím k prodloužení doby chlazení a to není technologicky žádoucí;

c) zvýšená vstupní teplota chladicí vody  $t_{v1}$  snižuje celkovou tepelnou výměnu  $q$  se stejnými důsledky jako v bodě b;

d) zvýšením přechodové teploty mladiny  $t_{m2}$  se současně zvyšuje teplotní rozdíl okrajových hodnot  $t_{m2}$  a  $t_{v1} = \vartheta II$ .

Teplotní rozdíl  $\vartheta II$ , hodnota  $x$  a velikost teplosměnné plochy  $F$  jsou však ve vzájemné závislosti a jak snižování teplotního rozdílu  $\vartheta II$ , tak i snižování hodnoty  $x$  vedou ke zvyšování nároku na velikost teplosměnné plochy, což lze ilustrovat tímto přehledem:

hodnota $x$	teplotní rozdíl $\vartheta II = t_{m2} - t_{v1}$		
	10 °C	5 °C	3 °C
1,3	51	78	104
1,2	57	78	124
1,1	68	117	165
1,05	75	140	204

Jako optimální poměr objemu vody a mladiny lze doporučit hodnotu  $x$  blízkou 1,1, při větší ztrátě tepla ve vířivé kádi pak pod 1,1.

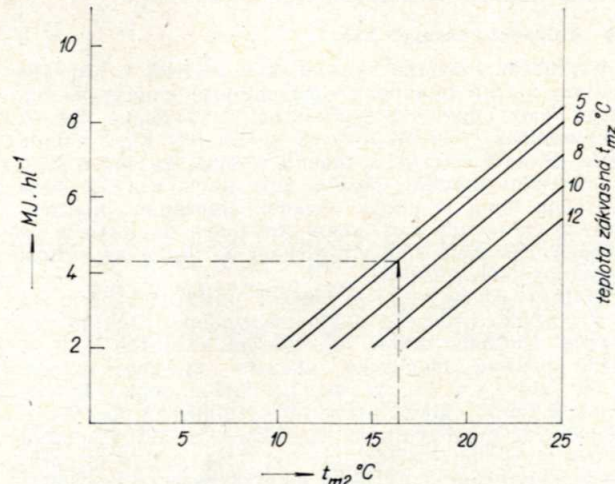
Podmínkou efektivního průběhu chlazení mladiny a využití teplé vody je dále nutné účelné napojení a uspořá-

dání teplovodního hospodářství. Nejde jen o dostatečné množství vhodné vody, ale o zajištění jejího rovnoramenného množství a dostatečného tlaku po celou dobu chlazení mladiny. Při řešení je třeba počítat s hydraulickým odporem deskového chladiče, podle příslušných údajů výrobce. Pro jímání teplé vody je třeba akumulační nádrž dimenzovat s ohledem na přebytek teplé vody koncem týdne při ukončení vaření, který je nutno vhodně využít ve prospěch prvních várek v následujícím týdnu. Proto musí být k dispozici dobré izolované zásobníky vody s obsahem odpovídajícím počtu várek v jednom dni a druhu vyráběného piva. V přepočtu na 100 kg sypání sladu celkem (tj. včetně surogátů) je nutný uvedený obsah zásobníků vody:

druh vyráběného piva	počet várek za 24 h celkem				
	2	4	6	8	10
obsah zásobníků vody m <sup>3</sup> na 100 kg sypání					
10 %	0,9	2,7	4,5	5,4	6,3
12 %	0,7	2,1	3,5	4,2	4,9

#### Dochlazování mladiny ledovou vodou — 2. stupeň chlazení

Teplo, které je nutno odvést v dochlazovací části deskového chladiče ledovou vodou, je dánou rozdílem teploty  $t_{m2}$  a teploty zákvasné  $t_{mz}$ . Na rozdíl od předchlazovací části, kde je energeticky výhodné, aby objemový průtok chladicí vody byl relativně malý (optimum  $x = 1,1$ ), pro objemový průtok ledové vody tato zásada neplatí, neboť naopak vysoké oteplení ledové vody při průtoku chladičem může vyvolat v chladicím systému krátkodobý nevyrovnaný a neefektivní stav. Také teplo, které odvádíme ledovou vodou, nelze energeticky využívat. Obecně platí požadavek, aby teplotní rozdíl mezi přechodovou teplotou mladiny  $t_{m2}$  a teplotou zákvasnou  $t_{mz}$  byl pokud možno malý, čímž se snižuje spotřeba chladu v ledové vodě. Na obr. 3 je nomogramem znázorněna závislost spotřeby chladu v ledové vodě na teplotách  $t_{m2}$  a  $t_{mz}$ .



Obr. 3. Spotřeba chladu v dochlazovací části chladiče mladiny v závislosti na přechodové teplotě mladiny  $t_{m2}$  a na teplotě zákvasné  $t_{mz}$ .

Zvýšená spotřeba chladu na dochlazování mladiny má vedle zvýšených nákladů na energii i přímý vliv na dimenzování celého souboru NH<sub>3</sub> chlazení, zejména na velikost výparníku — chladiče ledové vody.

Propočtem lze dokázat, že ochlazení mladiny o určitý teplotní rozdíl je z hlediska nákladů na energii asi o 20–45 % dražší než ohřev vody o stejný teplotní rozdíl. Proto regulování průtoku chladicí vody v 1. stupni chlazení v závislosti na teplotě vystupující vody  $t_{v2}$  není výhodné. Vyvolá nezbytně vysokou přechodovou teplotu mladiny  $t_{m2}$  a tím i vysokou spotřebu dražšího chladu. Rozdíl je zřejmý z těchto příkladů:

	provoz A provoz B	
poměr $x$ (voda : mladina)	1,1	1,1
teplota vstupující vody $t_{v1}$	°C	13 13
přechodová teplota mladiny $t_{m2}$	°C	20 25
teplota oteplené vody $t_{v2}$	°C	79 75
spotřeba chladu na dochlazení na $t_{m2}$ včetně ztrát	MJ . hl <sup>-1</sup>	6,9 9,2
vychladnutí vody v zásobníku	°C	3 3
spotřeba tepla na ohřátí vody na 75 °C včetně ztrát	MJ . hl <sup>-1</sup>	— 1,38

Pro efektivní dochlazování je stejně jako pro chlazení v 1. stupni důležitá jednak čistota teplosměnné plochy (jak na straně mladiny, tak i na straně vody) a jednak velikost této plochy. Kdyby např. za podmínek uvedeného příkladu provozu A byla teplosměnná plocha chladiče asi o 50 % větší, potom by teplota přecházející mladiny  $t_{m2}$  klesla na 17 °C a tím by spotřeba chladu na dochlazení byla pouze 5,5 MJ . hl<sup>-1</sup>, tj. o 20 % nižší a současně by se teplota ohřáté vody  $t_{v2}$  zvýšila asi o 3 °C.

#### Jednostupňový způsob chlazení mladiny

Jednostupňový způsob chlazení mladiny je založen na principu chlazení bez použití ledové vody. Předem se ve speciálním zásobníku ochladí voda vhodná pro následné použití ve varně na teplotu o 3–4 °C nižší, než je základní teplota  $t_{m2}$ , v množství odpovídajícím poměru  $x =$  asi 1,1. Touto vodou se pak mladina v 1. stupni chladí na teplotu zákvasnou  $t_{m2}$  a ohřátá voda s teplotou  $t_{v2}$  se využije ve varně. Jak je zřejmé, nepřináší tento způsob z energetického hlediska žádné výhody. Místo použití ledové vody je nutno chladicí vodu předem podchladić, jak je výše uvedeno. Jistou technickou výhodou je možnost pro toto podchlazování vody používat oddelené automatické chladicí jednotky na přímý odpar, nevýhodou je naopak nezbytnost dokonalé izolace zásobníku vody. Rozhodujícím rozdílem je to, že v části deskového chladiče se pracuje s malým teplotním rozdílem — pouze 2 až 3 °C — a to vyžaduje podstatně zvětšenou teplosměnnou plochu deskového chladiče. Výhody jednostupňového chlazení mladiny nelze proto prokázat.

#### 4.2 Chlazení kvasných kádů

V průběhu hlavního kvašení, kdy dochází k přeměně maltózy na ethylalkohol a oxid uhličitý, uvolňuje se současně teplo odpovídající příslušné biochemické reakci. Prokvašením 1 kg maltózy se uvolní 565 kJ. Z tohoto tepla je asi 20–25 % odváděno stěnami kvasných kádů a povrchem mladiny, avšak zbývajících cca 75–80 % kvasného tepla je nutno odvádět chlazením prostřednictvím chladicích hadů nebo chladicích duplikátorů ve stěnách ocelových kádů v závislosti na teplotním režimu technologického postupu.

Vývin kvasného tepla je úměrný intenzitě kvašení, tj. je v průběhu kvasného cyklu nerovnoměrný. Proto pro výpočet spotřeby chladu na chlazení kvasných kádů se běžně používá empirický ukazatel spotřeby 25–29 kJ . h<sup>-1</sup> . hl<sup>-1</sup> (= 7–8 W . hl<sup>-1</sup>) a dále se počítá, že současně je nutno chladit pouze 80 % celkového obsahu instalovaných kvasných kádů. Ke chlazení se běžně používá ledová voda, jejíž teplota má být 0,5–1,5 °C a při průchodu chladicími hady nebo duplikátorem se má ohřát o 2–2,5 °C. K dosažení požadovaného chladicího efektu má být chladicí plocha měděných hadů 0,015–0,020 m<sup>2</sup> . hl<sup>-1</sup> obsahu kvasné kádě, u chladicích hadů nebo duplikátorové stěny kvasné kádě z nerezavějící oceli pak 0,022–0,035 m<sup>2</sup> . hl<sup>-1</sup>. Pro velké objemy kvasných kádů je nutno volit vyšší hodnoty teplosměnné plochy. Okruh ledové vody pro chlazení kvasných kádů má být řešen tak, aby chlazení bylo rovnomořné bez výkyvů a probíhalo nepřetržitě po celých 24 h denně. Hlavně je nutno vyloučit případ, kdy v důsledku použití stejného okruhu ledové vody jako pro chlazení mladiny dojde k dočasněmu ohřátí ledové vody a tím k praktickému přerušení chlazení kvasných kádů. Pro dostatečný postup tepla je třeba chladicí hady udržovat kovově čisté.

#### 4.3 Chlazení piva ležáckých tanecích

Kromě případu železobetonových tanků, které jsou vybaveny obdobně jako kvasné kádě chladicími hady, pro-

bíhá chlazení obsahu ležáckých tanků prostupem tepla stěnou tanků do okolního prostoru. Obsah tanku se z teploty při sudování  $t_s$  na teplotu ležáckého sklepa  $t_1$  postupně ochlazuje za čas  $\tau$ . Množství tepla, které odpovídá ochlazení obsahu tanku, je dáno vztahem

$$Q_T = V_T \cdot \sigma \cdot c \cdot (t_s - t_1) \quad [\text{kJ}] \quad (17)$$

Při výměně tepla musí toto teplo prostoupit povrchem stěny tanku a pro tento přestup platí rovnice

$$Q_T = F_T \cdot k \cdot \Delta t_{1s} \cdot \tau \quad [\text{kJ}] \quad (18)$$

Z rovnic 17 a 18 pak odvodíme vztah pro čas ochlazování tanku

$$\tau = \frac{V_T \cdot \sigma \cdot c \cdot (t_s - t_1)}{F_T \cdot k \cdot \Delta t_{1s}} \quad [\text{h}] \quad (19)$$

V rovnicích 17 až 19 je význam jednotlivých symbolů tento:

$V_T$	— obsah ležáckého tanku m <sup>3</sup>
$\sigma$	— hustota piva kg . m <sup>-3</sup>
$c$	— měrné teplo piva kJ . kg <sup>-1</sup> . K <sup>-1</sup>
$t_s$	— teplota sudovaného piva °C
$t_1$	— teplota ležáckého sklepa °C
$Q_T$	— teplo, které je nutno odvést - množství chladu odpovídající ochlazení obsahu tanku z $t_s$ na $t_1$ [kJ]
$F_T$	— povrch tanku m <sup>2</sup>
$\Delta t_{1s}$	— střední logaritmický rozdíl teplot °C — viz rovnici 7
$\tau$	— čas nutný k ochlazení obsahu tanku z $t_s$ na $t_1$ h
$k$	— koeficient prostoru tepla kJ . m <sup>-2</sup> . h <sup>-1</sup> . K <sup>-1</sup>

Hodnotu koeficientu pro prostup tepla při ochlazování obsahu tanků uvádí ve své práci Schack [8],  $k = 20,72 \text{ kJ} \cdot \text{m}^{-2} \cdot \text{h}^{-1} \cdot \text{K}^{-1}$ . Dále Schack pro teplotní rozdíl  $t_s - t_1 = 5^\circ\text{C}$  uvádí hodnotu  $\Delta t_{1s} = 2^\circ\text{C}$ . Za použití těchto hodnot lze rovnici 19 upravit na zjednodušený, pro provozní podmínky dostatečně přesný, vztah

$$\tau = \frac{500 \cdot V_T}{F_T} \quad [\text{h}] \quad (20)$$

Při použití tohoto zjednodušeného vztahu jsou v tabulce 3 vypočteny doby ochlazování obsahu ležáckých tanků běžných velikostí.

Z tabulky 3 je zřejmé, že vyrovnaní teploty trvá několik dnů. Průběh vyrovnaní teploty ochlazování obsahu tanku není rovnoměrný, rychlejší je v prvním období,

Tabulka 3. Orientační doby  $\tau$  (h) nutné pro vyrovnaní teploty sudovaného piva  $t_s$  na teplotu ležáckého sklepa  $t_1$  při teplotním rozdílu 5 °C

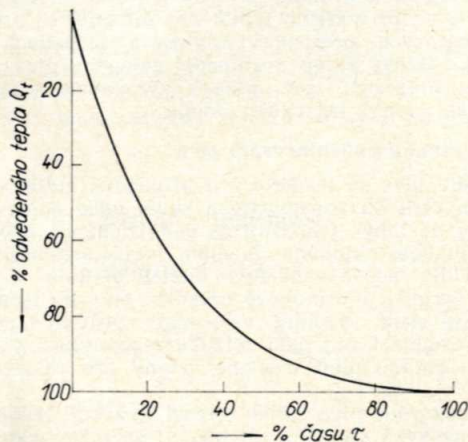
Průměr tanku mm	Délka tanku mm od	Obsah hl od	Doba ochlazování τ cca h
1 800	4 300	6 300	100 150 170–184
2 000	3 600	6 900	104 204 178–206
2 200	3 500	5 000	118 175 185–207
2 200	5 300	7 500	184 266 209–223
2 400	3 300	5 000	135 211 198–223
2 400	5 300	7 000	222 298 226–239
2 400	11 000		474 256
2 600	4 200	6 700	200 330 222–252
2 600	9 200	12 200	456 614 266–279

kdy teplotní rozdíl je větší. Přibližně lze stanovit, že jestliže se celková doba  $\tau$  potřebná k vyrovnaní teplotního rozdílu 5 °C (=  $t_s 6^\circ\text{C} - t_1 1^\circ\text{C}$ ) skládá z časových úseků  $\tau_1$  až  $\tau_5$  a každý z těchto úseků představuje postupné ochlazení obsahu tanku o 1 °C, pak že doby trvání těchto časových úseků jsou v poměru

$$\tau_1 : \tau_2 : \tau_3 : \tau_4 : \tau_5 = 1 : 1,2 : 1,7 : 2,8 : 10,3$$

Z tohoto pohledu lze dále odhadnout, že při vyrovnaní teploty obsahu tanku přejde asi 50–55 % tepla za cca 0,18 až 0,22 času  $\tau$ . Grafické vyjádření je znázorněno na obr. 4.

Při postupném denním sudování zeleného piva do jednoho oddělení ležáckého sklepa je pak denní přínos tepla dán součtem přínosů jednotlivých dnů. Například při sudování do sklepního oddělení s podlahovou plochou  $190 \text{ m}^2$ , které má celkový obsah 4 800 hl, pravidelně denně 1 200 hl, tj. 4 tanky o  $\varnothing 2400 \text{ mm}$  o obsahu 300 hl,



Obr. 4. Orientační časová závislost ochlazování obsahu ležáckého tanku vlivem okolní teploty ležáckého sklepa  $t_1$ .

kterým odpovídá doba vyrovnaní teploty  $\tau = \text{asi } 240 \text{ h}$ , je při rozdílu teplot  $t_s - t_1 = 5^\circ\text{C}$ , přínos tepla do sklepního oddělení za první den

$$Q_{p1} = 120 \cdot 1000 \cdot 4,1868 \cdot 5 = 2512080 \text{ kJ} = 2512 \text{ MJ} \quad (21)$$

Stejná množství tepla jsou pak pivem do oddělení ležáckého sklepa dodávána druhý až čtvrtý den. Do prostoru oddělení však teplo prostupuje stěnami tanků postupně podle bilance uvedené v tabulce 4.

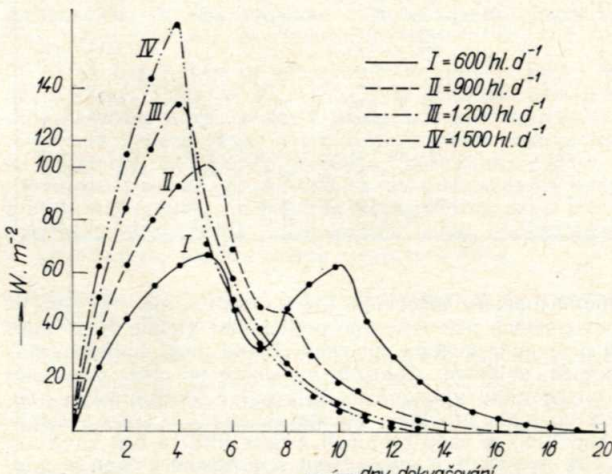
Tabulka 4. Bilance přínosu tepla přestupem z obsahu ležáckých tanků do okolí při ochlazování vyrovnaným teploty  $t_s$  na teplotu  $t_1$

Den (24 h)	Přestup tepla z přínosu jednotlivých dnů								Celkem	
	$Q_{p1}$		$Q_{p2}$		$Q_{p3}$		$Q_{p4}$			
	%	MJ	%	MJ	%	MJ	%	MJ		
1	33	829	—	—	—	—	—	—	829	
2	22	553	33	829	—	—	—	—	1 382	
3	15	377	22	553	33	829	—	—	1 759	
4	11	276	15	377	22	553	33	829	2 035	
5	7	176	11	276	15	377	22	553	1 382	
6	5	128	7	176	11	276	15	377	955	
7	3	75	5	128	7	176	11	276	653	
8	2	50	3	75	5	126	7	176	427	
9	1	25	2	50	3	75	5	126	276	
10	—	25	1	25	2	50	3	75	175	
11	—	—	—	—	—	—	—	—	100	
12	—	—	—	—	—	—	—	—	50	
13	—	—	—	—	—	—	—	—	25	
14 a další	—	—	—	—	—	—	—	—	—	
celkem		2 512		2 512		2 512		2 512	10 048	

V uvedeném příkladu je obsah oddělení sklepa 4 800 hl a podlahová plocha  $190 \text{ m}^2$ , z toho plyne ukazatel využití podlahové plochy  $4800 : 190 = 25,3 \text{ hl} \cdot \text{m}^{-2}$ . Protože je zvykem počítat potřebný příkon chladu pro chlazení ležáckých sklepů empirickým ukazatelem na  $1 \text{ m}^2$  podlahové plochy, je pro ilustraci v tabulce 5 a na obr. 5 přepracován a graficky znázorněn tepelný přínos sudovaného piva na  $1 \text{ m}^2$  podlahové plochy, při různých objemech sudovaného piva do jednoho oddělení v jednom dni. Z křivek I ( $600 \text{ hl} \cdot \text{d}^{-1}$ ) a II ( $900 \text{ hl} \cdot \text{d}^{-1}$ ) je zřejmý vliv přerušení sudování koncem týdne, v sobotu a v neděli.

Tabulka 5. Přínosy tepelného zatištění sklepního oddělení v závislosti na objemu sudovaného piva

Den (24 h)	Objem sudovaného piva hl za den (% obsahu oddělení)							
	600 (12,5)		900 (18,75)		1 200 (25,0)		1 500 (31,25)	
	MJ .d <sup>-1</sup>	W .m <sup>-2</sup>	MJ .d <sup>-1</sup>	W .m <sup>-2</sup>	MJ .d <sup>-1</sup>	W .m <sup>-2</sup>	MJ .d <sup>-1</sup>	W .m <sup>-2</sup>
1	414	25,2	622	37,9	829	50,5	1 036	63,1
2	690	42,0	1 036	63,1	1 382	84,2	1 727	105,2
3	878	53,5	1 319	80,3	1 759	107,2	2 198	133,9
4	1 016	61,9	1 526	92,9	2 035	124,0	2 543	154,9
5	1 104	67,3	1 658	101,0	1 382	84,2	1 174	71,5
6	735	45,9	1 130	68,8	955	58,2	816	49,7
7	515	31,4	773	47,1	653	39,8	540	32,9
8	766	46,7	735	44,8	427	26,0	358	21,8
9	917	55,9	478	29,1	276	18,8	221	13,5
10	1 030	62,7	319	19,4	175	10,7	145	8,8
11	691	42,1	201	12,2	100	6,1	76	4,6
12	465	28,3	119	7,2	50	3,0	38	2,3
13	315	19,2	69	4,2	25	1,5	6	0,4
14	202	12,3	37	2,2	—	—	—	—
15	126	7,7	13	0,8	—	—	—	—
16	78	4,6	7	0,4	—	—	—	—
17	51	3,1	6	0,4	—	—	—	—
18	26	1,8	—	—	—	—	—	—
19	13	0,8	—	—	—	—	—	—
20	—	—	—	—	—	—	—	—



Obr. 5. Tepelné zatištění oddělení ležáckého sklepa vyjádřené ve  $W \cdot m^{-2}$  podlahové plochy, při rozdílu teploty sudovaného piva  $t_s$  a teploty ležáckého sklepa  $t_1$ ,  $t_s - t_1 = 5^\circ\text{C}$ , při různých objemech piva sudovaného do oddělení v jednom dni

Naopak při větších objemech sudování v jednom dni je zřejmě krátkodobě vysoké tepelné zatištění prostoru oddělení ležáckého sklepa. Po vyrovnaní teploty  $t_s$  na  $t_1$  je obsah ležáckých tanků z hlediska chlazení bez vlivu na okolní prostor, neboť malé množství kvasného tepla, z extraktu který dokvašuje, je z hlediska ostatních vlivů zanedbatelné.

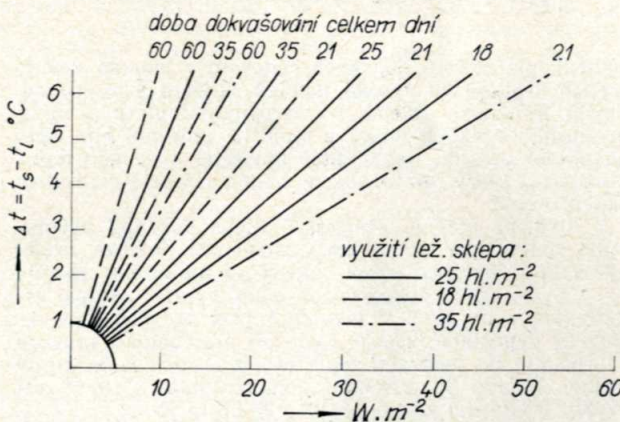
Z hlediska celého ležáckého sklepa dosahuje přínosy tepla sudovaným pivem, při vyrovnaném provozu, určité vyrovnané hladiny, která závisí na teplotním rozdílu  $t_s - t_1$ , na délce dokvašování a na využití sklepa vyjádřeném v  $hl \cdot m^{-2}$ . V tabulce 6 jsou pro orientaci se staveny vypočtené přínosy tepla při pravidelném provozu v přepočtu na množství tepla  $MJ \cdot m^{-2} \cdot d^{-1}$  a na nutný příkon chladu k odvedení tohoto tepla  $W \cdot m^{-2}$  při využití ležáckého sklepa 18, 25 a 35  $hl \cdot m^{-2}$ . Pro názornost jsou hodnoty tabulky 6 graficky znázorněny na obr. 6.

Uvedené hodnoty jsou approximativní, ve skutečnosti se do vývoje a výsledků tepelných poměrů promítá řada dalších vlivů a krátkodobě dochází i k neustálené výměně tepla. Přesto však dostatečně ilustrují, jak při vlastním provozu, tj. při sudování zeleného piva, jsou

Tabulka 6. Tepelné zatížení ležáckého sklepa teplem sudovaného piva v závislosti na využití ležáckého sklepa, době dokvašování a na teplotním rozdílu mezi teplotou sudovaného piva  $t_s$  a teplotou dokvašování = teplotou ležáckého sklepa  $t_1$

Využití lez. sklepa $hl \cdot m^{-2}$	Doba dokvašování dnů	Jednotka	Teplotní rozdíl $t_s - t_1 = {}^\circ C$			
			6	5	4	3
25	18	MJ . d <sup>-1</sup> m <sup>-2</sup> W . m <sup>-2</sup>	3,49 40,4	2,91 33,7	2,33 26,9	2,09 24,2
	21	MJ . d <sup>-1</sup> m <sup>-2</sup> W . m <sup>-2</sup>	2,99 34,6	2,49 28,8	1,99 23,1	1,74 20,2
	25	MJ . d <sup>-1</sup> m <sup>-2</sup> W . m <sup>-2</sup>	2,51 29,1	2,09 24,2	1,87 19,4	1,26 14,5
	35	MJ . d <sup>-1</sup> m <sup>-2</sup> W . m <sup>-2</sup>	1,79 20,8	1,50 17,3	1,20 13,8	0,90 10,4
	60	MJ . d <sup>-1</sup> m <sup>-2</sup> W . m <sup>-2</sup>	1,05 12,1	0,87 10,1	0,70 8,1	0,52 6,1
18	18	MJ . d <sup>-1</sup> m <sup>-2</sup> W . m <sup>-2</sup>	2,51 29,1	2,09 24,2	1,87 19,4	1,26 14,5
	21	MJ . d <sup>-1</sup> m <sup>-2</sup> W . m <sup>-2</sup>	2,15 24,9	1,79 20,8	1,44 18,6	1,08 12,5
	25	MJ . d <sup>-1</sup> m <sup>-2</sup> W . m <sup>-2</sup>	1,89 19,5	1,51 17,4	1,21 14,0	0,90 10,5
	35	MJ . d <sup>-1</sup> m <sup>-2</sup> W . m <sup>-2</sup>	1,29 15,0	1,08 12,5	0,86 10,0	0,64 7,5
	60	MJ . d <sup>-1</sup> m <sup>-2</sup> W . m <sup>-2</sup>	0,75 8,7	0,63 7,3	0,50 5,8	0,38 4,4
35	21	MJ . d <sup>-1</sup> m <sup>-2</sup> W . m <sup>-2</sup>	4,18 48,5	3,49 40,4	2,79 32,3	2,09 24,2
	60	MJ . d <sup>-1</sup> m <sup>-2</sup> W . m <sup>-2</sup>	1,46 17,0	1,22 14,1	0,98 11,3	0,73 8,4

tepelné poměry ležáckého sklepa ovlivňovány. V širších souvislostech pak nesmíme podlehnut klamu, že se jedná o pouhou záměnu spotřeby chladu mezi spilkou a ležáckým sklepem. Chlazení ve spilce je vždy provozně a energeticky výhodnější. Chlazení v kvasné kádi, kde přestup tepla probíhá v soustavě kapalina - kovová stěna - kapalina, je vždy rychlejší a bez ztrát a bez vlivu na okolní prostředí. Naproti tomu v ležáckém sklepě je, jak bylo uvedeno, přestup tepla do prostoru velmi pomalý, zejména se však nelze vyhnout negativním vlivům na okolí. Při větších teplotních rozdílech mezi  $t_s$  a  $t_1$  se kolísavě zvyšuje teplota sklepních oddělení a současně s kolísáním teploty kolísá i vlhkost vzduchu, což se promítá



Obr. 6. Tepelné zatížení ležáckého sklepa (tepelný přenos sudovaného pivav) vyjádřené ve  $W \cdot m^{-2}$  podlahové plochy, při vyrovnaném provozu (sudování = stáčení) v závislosti na využití ležáckého sklepa v  $hl \cdot m^{-2}$  a na celkové době dokvašování

jak do vlhkosti stěn a stropů, tak i vede k rychlejšímu nárůstu námravy na chladicích solankových sítích klidového chlazení ležáckého sklepa. Z uvedených důvodů je proto třeba dodržovat technologicky vhodné dochlazení zeleného piva ve spilce v kvasných kádích a nepřenášet tuto operaci do ležáckého sklepa. Pro případy velkých objemů denně sudovaného piva, nebo při technologii hlavního kvašení při vyšších teplotách, zařazuje se proto do technologických postupů v některých případech mezi spilku a ležácký sklep dochlazení zeleného piva deskovými dochlazovači, což vede k výraznému vyrovnání teplotních poměrů ležáckého sklepa.

#### 4.4 Chlazení a podchlazování piva

Chlazení piva se v některých případech aplikuje před stáčením piva do transportních sudů, nebo častěji před stáčením do lahví. Používají se buď trubkové, nebo deskové chladiče, chladicím médiem (teplonosnou látkou) je zpravidla ledová voda nebo roztok glykolu. V zahraňci se vyrábějí i průtokové chladiče piva na přímý odpar, které však vyžadují vyrovnávaný průtok a přesnou účinnou regulaci, aby bylo vyloveno zamrznutí piva. Pro spotřebu chladu platí uvedené vztahy pro chlazení kapalin.

Podchlazování piva před filtrací, pomocí trubkových nebo deskových chladičů při použití solanky, podchlazeného roztoku glykolu nebo při použití speciálních chladičů na přímý odpad je součástí některých technologických postupů. Hlavním přínosem je vylovení nežádoucího oteplení piva v důsledku vyšší teploty jednotlivých zařízení — filtrů, směšovačů, potrubí apod. — které se projevuje zejména na začátku provozu a dále vyrovnání vlivu teplějšího vnějšího okolí. Pro zvýšení koloidní stability piva není pouhé průtokové podchlazení a přímá následná filtrace dostatečně efektivní. Přínos podchlazení piva před filtrací je prokazatelný, pokud je před filtrem zařazen vyrovnávací-vydržovací tank, ve kterém dojde k vydržení teploty minimálně  $-1^\circ C$  po dobu nejméně 1 hodiny, avšak toto opatření nemůže vyrovnat přínos dlouhodobého studeného dokvašování. Z hlediska dosažení dobré stability a stabilizované trvanlivosti vlivem podchlazení se doporučuje zařazení studené fáze dovašování 1 týden při teplotě  $-1^\circ C$ , nebo 2 týdny při  $-0,5$  až  $0,0^\circ C$  před filtrací piva.

#### 4.5 Chlazení piva při průtokové pasteraci

Průtokové pastery jsou v podstatě několikastupňové deskové výměníky tepla, které pracují na principu rekuperace tepla. Pivo vystupující z výdržníkové části pastéru s pasterační teplotou je nejprve v předchlazovací části ochlazováno vstupujícím nepasterovaným pivem (které se tím současně předehřívá) a v dochlazovací části se pak dochlazuje solankou nebo podchlazeným roztokem glykolu. Pokud jsou desky pastéru vyrobeny z běžné nerezavějící oceli, pak musí být použit roztok glykolu podchlazovaný v samostatném sekundárním okruhu buď solankou, nebo chladicí jednotkou na přímý odpar. Pro možnost použití solanky je podmínkou, aby teploměrné desky dochlazovací části pastéru byly vyrobeny ze speciální nerezavějící oceli legované titanem, která je odolná vůči  $Cl^-$  iontům do teploty asi  $60^\circ C$ . Pro případ sterilace pastéru pak musí být dochlazovací část pastéru přizpůsobena tak, aby z prostoru solanky bylo možno před sterilací solanku vytlačit vodou. Rozsah dochlazování piva při průtokové pasteraci je dán úrovní rekuperace tepla a z ní vyplývající teploty, se kterou pivo do dochlazovací části pastéru vstupuje, tato teplota je zpravidla v rozsahu  $8$ – $12^\circ C$  a teplotou, na kterou je pivo dochlazováno, která bývá  $2^\circ C$ . Teplota teplonosné látky (solanku nebo roztoku glykolu) bývá na vstupu  $-3$  až  $-6^\circ C$ , na výstupu z pastéru pak  $+1$  až  $+5^\circ C$ . Objemový průtok teplonosné látky je zpravidla 1 až 2násobek objemového průtoku piva.

#### 4.5 Teplota mrznutí piva a teplota maximální hustoty piva

Teplota mrznutí piva je výrazně ovlivňována obsahem alkoholu v pivě a lze ji stanovit podle vzorce:

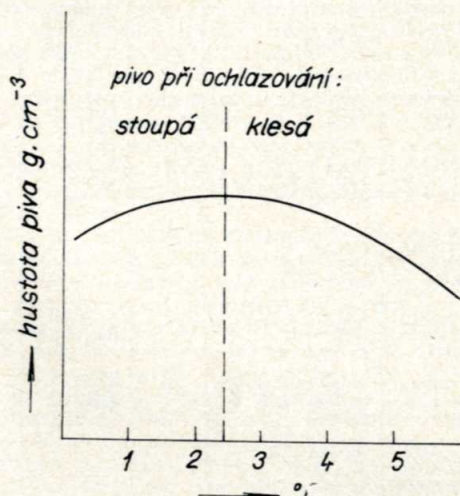
$$t_{mp} = -(0,42 A + 0,04 p + 0,2) [{}^\circ C] \quad (21)$$

kde  $t_{mp}$  — teplota mrznutí piva °C  
 $A$  — obsah alkoholu % hm  
 $p$  — původní mladina % hm

Například 12% pivo, které má obsah alkoholu  $A = 3,9\%$   
a původní mladina byla 12,1%, má teplotu mrznutí

$$t_{mp} = -[0,42 \cdot 3,9 + 0,04 \cdot 12,1 + 0,7] = \\ = -[1,638 + 0,484 + 0,2] = -2,3^{\circ}\text{C}.$$

Druhou důležitou hodnotou při chlazení piva je tzv. teplota maximální hustoty. Pivo obdobně jako voda vykazuje teplotní anomaliu, tj. nejnižší teplota kapalného skupenství nemá nejvyšší hustotu. Nejvyšší hustota vody



Obr. 7. Schematické znázornění vlivu teploty maximální hustoty piva na cirkulaci při ochlazování piva ve velkoobjemových nádobách (podle Brauwelt Brevier 1982)

je při teplotě  $+4^{\circ}\text{C}$ . U piva je pak teplota maximální hustoty  $t_{mhp}$  závislá na obsahu alkoholu a skutečného extraktu piva. Tuto teplotu lze vypočítat podle vzorce:

$$t_{mhp} = 4 - [0,65 E_{sk} - 0,24 A] \quad [\text{°C}] \quad (22)$$

kde  $t_{mhp}$  — teplota maximální hustoty piva °C  
 $E_{sk}$  — skutečný extrakt piva % hm  
 $A$  — obsah alkoholu % hm

Podle tohoto vzorce má pivo s obsahem alkoholu 3,9% a skutečným extraktem  $E_{sk} = 4,3\%$  maximální hustotu při teplotě

$$t_{mhp} = 4 - [0,65 \cdot 4,3 - 0,24 \cdot 3,9] = \\ = 4 - [2,795 - 0,936] = 2,1^{\circ}\text{C}.$$

Tato teplotní anomálie piva nemá praktický význam a vliv při průtokovém chlazení, ale uplatňuje se při chlazení piva ve velkoobjemových nádobách, např. cylindro-kónických kvasných tancích. Při ochlazování pivo nejdří-

ve v důsledku zvyšující se hustoty v nádobě klesá, vytváří se proudění, které podporuje vyrovnávání složení piva v průběhu kvašení v jednotlivých vrstvách. Jakmile však pivo dosáhne teploty nižší, než je teplota maximální hustoty  $t_{mhp}$ , začne opět v nádobě stoupat. V dolní části nádoby se pak hromadí pivo s teplotou maximální hustoty, uklidňuje se proudění a tato vrstva piva pak může vykazovat jiné složení a odlišný obsah některých složek, především diacetyl, který bývá důležitým kritériem technologického postupu a kvality piva.

#### Použitá a doporučená literatura

- [8] SCHACK: Der industrielle Wärmeübergang, Aufl. Band I
- [9] MILLER, A.: Approximative Preise und spezifischer Kältebedarf, Brauwissenschaft, 1971, 24, č. 4
- [10] PILÁŘ, A.: Chemické inženýrství II, SNTL Praha 1964

**Kratochvíle, A.: Chlazení a výroba piva II.** Kvas. prům., 31, 1985, č. 11, s. 251—257.

Článek je volným pokračováním části I (Kvas. prům. č. 10, s. 227). Úvodem je uveden charakter spotřeby rozdelení spotřeby chladu při výrobě piva. Dále se článek zabývá chlazením kapalin, zejména mladin, chlazením kvasných kádi, ochlazováním piva v ležáckých tancích, dochlazováním piva. V závěru je uvedena závislost bodu mrznutí piva a teploty maximální hustoty piva.

**Kratochvíle, A.: Охлаждение и производство пива II.** Квас. прум. 31, 1985, № 11, стр. 251—257.

Статья определенным способом продолжает тему 1-ой части (Квас. прум. № 10, стр. 227). В введении описывается характер потребления и распределения расхода холода при производстве пива. Далее статья занимается охлаждением жидкостей, особенно охмеленного сусла — путем охлаждения бродильных чанов, охлаждением пива в лагерных танках, добавочным охлаждением пива. В заключение приводится зависимость точки замерзания и температуры максимальной плотности пива.

**Kratochvíle, A.: Chilling and Beer Output II.** Kvas. prům. 31, 1985, No. 11, pp. 251—257.

The article describes a cooling of fluids especially that of wort, cooling of fermenters and beer cooling in tanks. At the end the dependence of the freezing point and the temperature of maximum density of beer are given.

**Kratochvíle, A.: Kühlung und Bierherstellung. II.** Kvas. prům. 31, 1985, Nr. 11, S. 251—257.

Der Artikel stellt eine freie Fortsetzung des I. Teils dar (Kvas. prům. Nr. 10, S. 227). Einführend wird der Charakter und die Verteilung des Kälteverbrauchs bei der Bierherstellung angeführt. Weiter befaßt sich der Artikel mit der Kühlung der Flüssigkeiten, insb. der Würze, mit der Kühlung von Gärböttchen, Kühlung des Bieres in Lagertanks und mit der Nachkühlung des Bieres. Zum Schluß wird die Abhängigkeit des Gefrierpunkts des Bieres und der Temperatur der maximalen Bierdichte angeführt.